

## 2,2'-Bipyridinium Chlorochromate에 의한 치환 벤질 알코올류의 산화반응과 메카니즘에 관한 연구

김영식<sup>1\*</sup>, 박영조<sup>1</sup>  
<sup>1</sup>강원대학교 화학공학과

### A Study for Mechanism and Oxidation Reaction of Substituted Benzyl Alcohols by 2,2'-Bipyridinium Chlorochromate

Young-Sik Kim<sup>1\*</sup> and Young-Cho Park<sup>1</sup>

<sup>1</sup>Department of Chemical Engineering, Kangwon National University

**요약** 6M HCl 용매 하에서 2,2'-bipyridine과 chromium(VI) trioxide의 반응을 통하여 2,2'-bipyridinium chlorochromate[C<sub>10</sub>H<sub>8</sub>N<sub>2</sub>HCrO<sub>3</sub>Cl]를 합성하여, 적외선분광도법(IR), 유도결합 플라즈마(ICP) 등으로 구조를 확인하였다. 여러 가지 용매 하에서 2,2'-bipyridinium chlorochromate를 이용하여 벤질 알코올의 산화반응을 측정한 결과 유전상수( $\epsilon$ ) 값이 큰 용매 즉, 시클로헥센<클로로포름<아세톤<N,N'-디메틸포름아미드 순으로 높은 산화반응성을 보였다. 산 촉매(HCl)를 이용한 N,N'-디메틸포름아미드 용매 하에서 2,2'-bipyridinium chlorochromate는 벤질 알코올과 그의 유도체들(p-CH<sub>3</sub>, H, m-Br, m-NO<sub>2</sub>)을 효과적으로 산화시켰다. 그리고 전자받개 그룹들은 반응속도가 감소한 반면에 전자주개 치환체들은 반응속도를 증가시켰다. 또한 Hammett 반응상수( $\rho$ ) 값은 -0.64(303K) 이었다. 이러한 알코올류의 산화반응성은 polysilsesquioxane과 같은 고분자물질을 용해시켜 코팅제로 활용할 때 열안정성과 같은 물성을 연구하는데 중요한 인자가 될 수 있다. 그러므로 본 실험에서 알코올의 산화반응 과정은 속도결정단계에서 수소화 전이가 일어나는 메카니즘임을 알 수 있었다.

**Abstract** 2,2'-Bipyridinium chlorochromate[C<sub>10</sub>H<sub>8</sub>N<sub>2</sub>HCrO<sub>3</sub>Cl] was synthesized by the reaction of 2,2'- bipyridine with chromium(VI) trioxide in 6M HCl. The structure was characterized by IR and ICP analysis. The oxidation of benzyl alcohol using 2,2'-bipyridinium chlorochromate in various solvents showed that the reactivity increased with the increase in the order of the dielectric constant( $\epsilon$ ), in the order: cyclohexene < chloroform < acetone < N,N'-dimethylformamide. In the presence of hydrochloric acid(HCl solution), 2,2'- bipyridinium chlorochromate effectively oxidized benzyl alcohols and its derivatives(p-CH<sub>3</sub>, H, m-Br, m-NO<sub>2</sub>) in N,N'-dimethylformamide. Electron-donating substituents accelerated the reaction, whereas electron acceptor groups retarded the reaction. The Hammett reaction constant( $\rho$ ) was -0.64(303K). The oxidation reactivity of alcohols can be a useful factor to study about physical properties such as thermal stability, when the polysilsesquioxane solution is ready for an applying coating agent. The observed experimental data was used to rationalized the hydride ion transfer in the rate-determining step.

**Key words** : Substituted benzyl alcohol, Hammett reaction constant( $\rho$ ), Hydride ion transfer, rate-determining step

### 1. 서론

알코올류의 산화제에 대해 많은 연구가 진행되고 있

며, 그 중에서도 크롬(VI) 계열의 시약들(quinolinium dichromate, pyrazinium-N-oxide chlorochromate, tripyridinium hydrochloride chlorochromate, naphthyridinium

본 논문은 2009년도 강원대학교 기성회계 학술연구조성비로 연구하였음.

\*Corresponding Author : Young-Sik Kim

Tel: +82-010-2235-4467 email: jameskim@kangwon.ac.kr

접수일 12년 05월 22일

수정일 12년 06월 19일

게재확정일 12년 07월 12일

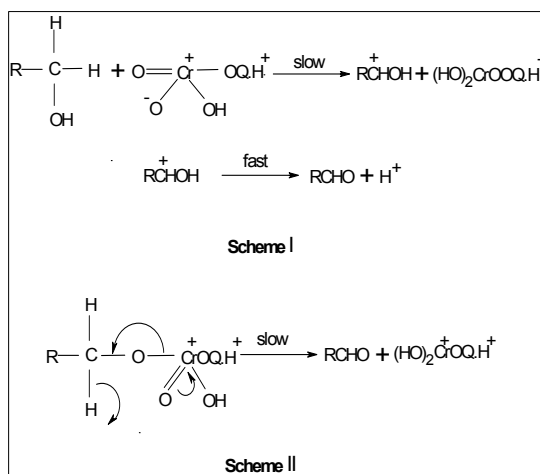
dichromate, pyridinium chlorochromate, bipyridinium chlorochromate)이 산화제로 널리 이용되어 왔다. 그러나 이 시약들은 일차 알코올의 산화제로 사용했을 경우에 생성되는 알데히드가 더욱 산화되어 카르복시산이 되므로 유기성인 순수 알데히드를 얻기가 힘들다. 크롬(VI) 계열의 시약은 보통 수용성이며 유기용매에 불용성이어서 산화반응을 수용액에서 수행해야 하는 용매의 선택에 제한점이 있고, 알데히드를 얻기에 많은 난점이 있다. 또한 반응이 쉽게 분해되어 정확한 메카니즘은 아직도 분명치가 않다.

그러므로 유기 용매에 잘 용해되고, 일차 알코올을 알데히드까지 산화시키는 산화제의 합성과 그에 따르는 메카니즘 규명이 필요하게 되었다. 그리고 한 분자 내에 여러 가지 hydroxy group이 존재할 때, 특정 hydroxy group만을 선택적으로 산화시키는 산화제에 대해서도 연구가 이루어지고 있다. 그러므로 유기 용매에 잘 용해되고, 유기합성 과정에서 한 분자 내에 여러 가지 hydroxy group(benzylic, allylic, primary, secondary)이 존재하고 있을 때, 특정 hydroxy group만을 선택적으로 carbonyl compound로 전환시키는 산화제와 그에 따르는 메카니즘 규명이 필요하다.

크롬(VI) 계열의 시약을 이용한 보고된 연구를 보면 Banerji 등[1-2]은 pyridinium chlorochromate(Corey's reagent)에 의한 glycollic, lactic 및  $\alpha$ -hydroxybutyric acid 등의 산화에 대한 속도를 연구하였을 뿐만 아니라 과염소산 존재 하에서 아세트산-물 혼합 용매에서 에틸클로로카바메이트를 이용하여 벤질 알코올류의 산화에 대한 반응속도론적 연구를 보고하였다. Mahanti 등[3-6]은 quinolinium dichromate(Q)를 이용하여 벤질 알코올류를 산화 반응시켜 예상되는 두 가지 반응경로의 메카니즘(Scheme I, Scheme II)을 그림 1에 제시하였다. 보고한 반응경로의 메카니즘을 고찰해보면, Scheme I에서는 알코올과 크롬산이 반응할 때, 속도결정단계에서 양성자( $H^+$ ) 전이가 직접적으로 일어나므로 활성화 상태에서 알코올의  $\alpha$ -위치 탄소에 양이온의 생성되는 경로이고, Scheme II에서는 알코올과 크롬산이 반응할 때 크로메이트 에스테르(chromate ester)가 먼저 형성된 후 활성화 상태에서 산화제의  $\gamma$ -위치인 Cr(VI)에 양이온이 생성된다.

본 실험에서는 크롬(VI) 계열의 2,2'-bipyridinium chlorochromate( $C_{10}H_8N_2HCrO_3Cl$ )를 합성하여 적외선분광광도법(IR), 원소분석 등으로 구조를 확인하였다. 또한 산화반응의 최적 조건을 찾기 위하여 2,2'-bipyridinium chlorochromate의 농도 변화에 따른 벤질 알코올의 산화 반응성을 조사하였고, 여러 가지 용매 하에서 2,2'-bipyridinium chlorochromate를 이용한 벤질 알코올

의 산화반응성을 조사하였다. 이러한 알코올류의 산화반응성은 polysilsequioxane과 같은 고분자물질을 용해시켜 코팅제로 활용할 때 열안정성과 같은 물질을 연구하는데 중요한 인자가 될 수 있다. 그리고 2,2'-bipyridinium chlorochromate를 이용하여 벤질 알코올과 그의 유도체들(p-CH<sub>3</sub>, H, m-Br, m-NO<sub>2</sub>)의 산화반응 속도 실험을 통하여 열역학적 성질( $\Delta H^\ddagger$ ,  $\Delta S^\ddagger$ ,  $\Delta G^\ddagger$ )과 치환기 효과에 따른 Hammett 반응상수( $\rho$ ) 값 등에서 산화반응 과정의 메카니즘을 고찰하였다.



[그림 1] 퀴놀린늄 디크로메이트에 의한 치환 벤질 알코올류의 산화반응 메카니즘

[Fig. 1] Mechanism of the oxidation of substituted benzyl alcohols by quinolinium dichromate

## 2. 실험

### 2.1 시약 및 분석기기

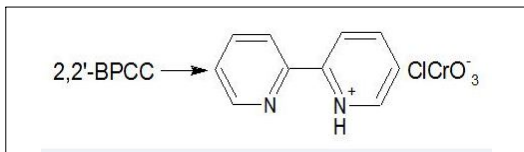
실험에 사용한 2,2'-bipyridine, 염산, chromium (VI) trioxide, 치환 벤질 알코올류(p-CH<sub>3</sub>, H, m-Br, m-NO<sub>2</sub>), 알데히드류, N,N'-디메틸포름아미드(DMF) 등은 Aldrich사의 HPLC급 시약을 사용하였다. 녹는점 측정은 Electrothermal 1A 8103 측정기기를 사용하여 3회 측정하여 그 평균값을 취하였다. Cr 정량은 ICP-IRIS(Thermo Jarrell Ash, USA)를 사용하였고, C, H, N, O 함량은 elemental analysis(Vario EL: Germany), FT-IR 측정은 ATI-Mattson사의 Research series 1을 사용하여 측정하였다. 흡광도 측정은 UV-Visible spectrophotometer(Hewlett Packard UV-8452A)로 absorption band( $\lambda_{max}$ ) 455nm에서 측정하였다. GC-FID(Varian 3400) 측정은 capillary column: DB-5(30m×0.253mm), DB-WAX(30m×0.253 mm),

DB-1(30m×0.253mm), carrier gas로는 N<sub>2</sub>를 사용하여 측정하였다.

### 2.2 2,2'-Bipyridinium chlorochromate

#### [C<sub>10</sub>H<sub>8</sub>N<sub>2</sub>HCrO<sub>3</sub>Cl] 합성

6M HCl 용매 하에서 chromium(VI) trioxide, 5.00×10<sup>-2</sup>mole을 녹인 다음 ice bath에서 5°C 이하로 유지하면서 2,2'-bipyridine 5.00×10<sup>-2</sup>mole을 서서히 가하면서 교반시켜 생성된 결정을 물에서 재결정한 후, 데시케이터에서 충분히 건조시켜 황색 고체인 2,2'-bipyridinium chlorochromate [C<sub>10</sub>H<sub>8</sub>N<sub>2</sub>HCrO<sub>3</sub>Cl], (75%)를 얻었다. 그 구조식은 그림 2에 나타냈으며, 녹는점은 159-163°C 이었다[7-8]. 녹는점 측정은 Electrothermal 1A 8103 측정기기를 사용하여 3회 측정하여 그 평균값을 취하였다. 보고된 문헌[7-8]에서 본 실험과 유사한 크롬(VI)-착물 [(C<sub>8</sub>H<sub>6</sub>N<sub>2</sub>H)<sub>2</sub>Cr<sub>2</sub>O<sub>7</sub>]인 경우 녹는점은 140-142°C 을 보였다.



[그림 2] 2,2'-비피리디늄 클로로크로메이트 [C<sub>10</sub>H<sub>8</sub>N<sub>2</sub>HCrO<sub>3</sub>Cl]  
[Fig. 2] 2,2'-bipyridinium chlorochromate [C<sub>10</sub>H<sub>8</sub>N<sub>2</sub>HCrO<sub>3</sub>Cl]

### 2.3 2,2'-Bipyridinium chlorochromate의 농도 변화에 따른 벤질 알코올의 산화반응

2,2'-Bipyridinium chlorochromate 5.00×10<sup>-3</sup>mole, 1.00×10<sup>-2</sup>mole, 1.50×10<sup>-2</sup>mole, 2.00×10<sup>-2</sup>mole, 2.5×10<sup>-2</sup>mole 각각을 벤질 알코올 1.00×10<sup>-2</sup>mole과 실온에서 DMF용매 5mL에서 반응시켰다. 최대 수율치가 일정함을 보일 때까지를 반응종료 시간으로 하여 GC로 수율을 구하였다 [4-6, 11].

Column: DB-5(30m×0.253 mm),  
DB-WAX(30m×0.253mm), DB-1(30m×0.253mm)  
Temp: 40°C-80°C, 10°C/min(FID)  
Flow rate: N<sub>2</sub>(7mL/min)

### 2.4 여러 가지 용매 하에서 2,2'-bipyridinium chlorochromate를 이용한 벤질 알코올의 산화반응

2,2'-Bipyridinium chlorochromate 2.00×10<sup>-2</sup>mole과 벤질 알코올 1.00×10<sup>-2</sup>mole을 취하여 실온에서 시클로헥센,

1,4-디옥산, 사염화탄소, 클로로포름, 디클로로메탄, 아세톤, N,N'-디메틸포름아미드 등의 용매 5mL에 각각 반응시켰다. 최대 수율치가 일정함을 보일 때까지를 반응종료 시간으로 하여 GC로 수율을 구하였다[4-6, 11].

Column: DB-5(30m×0.253 mm),  
DB-WAX(30m×0.253mm), DB-1(30m×0.253mm)  
Temp: 40°C-80°C, 10°C/min(FID)  
Flow rate: N<sub>2</sub>(7mL/min)

### 2.5 산 촉매 존재 하에서 온도변화에 따른 2,2'-bipyridinium chlorochromate를 이용한 치환 벤질 알코올류의 산화반응속도 측정

2,2'-Bipyridinium chlorochromate(1.00×10<sup>-3</sup>mole)가 함유된 DMF(5mL) 용매 하에서 온도변화(303K, 308K, 313K)에 따라 치환 벤질 알코올류(p-CH<sub>3</sub>, H, m-Br, m-NO<sub>2</sub>) 각각을 1.00×10<sup>-1</sup>mole 첨가한 후, 용액 전체에 산 촉매(HCl) 농도가 5.00×10<sup>-2</sup>mole 되게 신속하게 가한 다음, 시간에 따라 감소하는 흡광도 변화를 측정하였다[4-7, 10, 12, 13]. 흡광도 값은 최대흡수 파장(λ<sub>max</sub>) 455 nm에서 산화제가 환원되는 부분을 택하였다. 그리고 속도상수(k) 값은 시간에 따른 log[2,2'-bipyridinium chlorochromate]를 도시하여 구하였다. 이 속도상수 값으로부터 ΔH<sup>‡</sup>, ΔS<sup>‡</sup>, ΔG<sup>‡</sup>와 Hammett 반응상수(ρ) 값을 계산하였다.

### 2.6 활성화 파라미터 계산

Arrhenius 식[17-21]  $k = A \cdot e^{-\frac{E_a}{RT}}$  에 자연대수를 취하면 다음과 같다.

$$\ln k = -\frac{E_a}{RT} + \ln A \quad (1)$$

식 (1)으로부터 1/T에 대해 ln k를 도시하면 그 기울기로부터 활성화 에너지 E<sub>a</sub>를 구할 수 있다. 그리고 활성화 엔탈피와 활성화 엔트로피는 임의의 두 온도 T<sub>1</sub>와 T<sub>2</sub>에서의 Eyring 속도식 (2)와 식 (3)을 아래와 같이 나타낼 수 있다.

$$k_i = \frac{KT_i}{h} e^{-\frac{\Delta S^\ddagger}{R}} \cdot e^{-\frac{\Delta H^\ddagger}{RT_i}} \quad (2)$$

$$k_j = \frac{K T_i}{h} e^{-\frac{\Delta S^\ddagger}{R}} \cdot e^{-\frac{\Delta H^\ddagger}{R T_i}} \quad (3)$$

여기서 K는 Boltzmann 상수이고, h는 Plank 상수이다. 식 (2)와 식 (3)을 연립으로 풀면,

$$\Delta H^\ddagger = \frac{R T_i T_j}{T_j - T_i} \ln \frac{k_j T_i}{k_i T_j} \quad (4)$$

$$\Delta S^\ddagger = \frac{R}{T_i - T_j} \ln \left( \frac{k_i}{T_i} \right)^{T_i} - R \ln \left( \frac{K}{h} \right) \quad (5)$$

식 (4)와 식 (5)에서  $\Delta H^\ddagger$ 와  $\Delta S^\ddagger$ 를 구하였으며, 활성화 자유에너지( $\Delta G^\ddagger$ )는 식 (6)으로부터 구할 수 있다.

$$\Delta G^\ddagger = \Delta H^\ddagger - T \Delta S^\ddagger \quad (6)$$

이 때 T는  $T_i$ 와  $T_j$ 의 평균값이다.

### 2.7 Hammett 반응상수 계산

많은 m- 및 p-치환 벤젠 유도체들의 다양한 반응에 직선관계가 정립되어 있다 하더라도 새로운 반응, 새로운 경우를 대할 때에도 실제로 응용할 수 있는 간단한 정량적인 관계식이 필요하다. 이에 대한 해결책이 Hammett[17-21]에 의하여 제시 되었다. 제시된 Hammett 방정식을 적용하여 볼 때, 어떠한 치환기에 대해서나  $\log k_X/k_H$  값이 치환기 상수( $\sigma_X$ )로 정의되며, 여기서  $k_X$ 는 벤질알코올의 치환체에 대한 속도상수이며,  $k_H$ 는 벤질알코올에 대한 속도상수이다. 따라서 Hammett 반응상수( $\rho$ )를 식 (7)과 식 (8)같이 정의할 수 있다.

$$\log k_X/k_H = \rho \cdot \sigma_X \quad (7)$$

$$\rho = \frac{\log k_X/k_H}{\sigma_X} \quad (8)$$

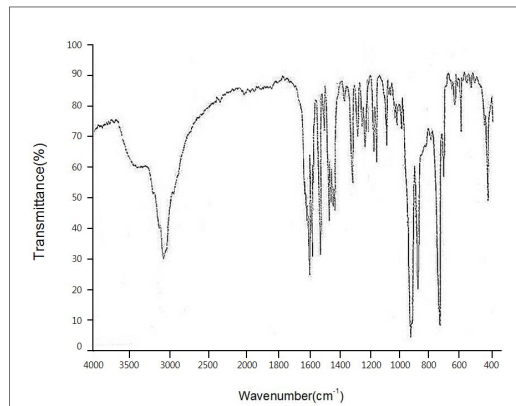
## 3. 결과 및 고찰

### 3.1 2,2'-Bipyridinium chlorochromate

#### [C<sub>10</sub>H<sub>8</sub>N<sub>2</sub>HCrO<sub>3</sub>Cl] 합성에 대한 고찰

2,2'-Bipyridinium chlorochromate의 적외선 스펙트럼

은 그림 3에 나타내었다.



[그림 3] 2,2'-비피리딘늄 클로로크로메이트의 적외선스펙트럼(IR)[C<sub>10</sub>H<sub>8</sub>N<sub>2</sub>HCrO<sub>3</sub>Cl]

[Fig. 3] IR spectrum of 2,2'-bipyridinium chlorochromate [C<sub>10</sub>H<sub>8</sub>N<sub>2</sub>HCrO<sub>3</sub>Cl]

적외선 스펙트럼을 고찰해보면[7-8],  $\nu_{\text{asym.}}(\text{Cr-O})$ 은 950, 940 $\text{cm}^{-1}$  부근에서,  $\nu_{\text{sym.}}(\text{Cr-O})$ 은 900 $\text{cm}^{-1}$  부근에서,  $\nu(\text{Cr-Cl})$ 은 440 $\text{cm}^{-1}$  부근에서 흡수 peak가 나타났고,  $\nu(\text{N-H})$ 은 3150 $\text{cm}^{-1}$  부근에서,  $\nu(\text{C-H})$ 은 3050 $\text{cm}^{-1}$  부근에서 흡수 peak가 나타났으며,  $\nu(\text{C=C})$ 은 1650 $\text{cm}^{-1}$ ,  $\nu(\text{N-H})$  peak는 1540 $\text{cm}^{-1}$ ,  $\nu(\text{C-H})$  peak는 1400 $\text{cm}^{-1}$ ,  $\nu(\text{C-N})$ 은 1200  $\text{cm}^{-1}$  부근에서 흡수 peak가 나타났다. 그리고 원소분석 결과는 표 1에 나타내었다. 원소분석에서는 이론값과 측정값이 잘 일치함을 보였다.

[표 1] 2,2'-비피리딘늄 클로로크로메이트의 원소분석

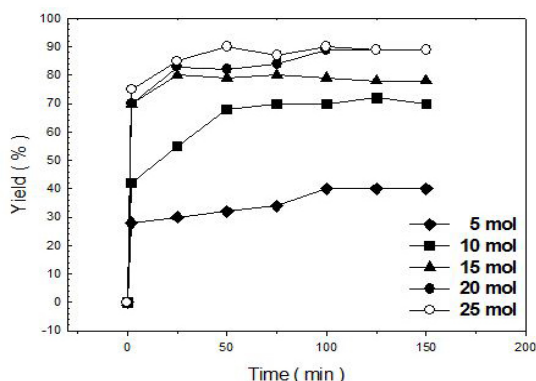
[Table 1] Elemental analysis of 2,2'-bipyridinium chlorochromate

Complex	Elemental				
	C	H	N	O	Cr
Calculated C <sub>10</sub> H <sub>8</sub> N <sub>2</sub> HCrO <sub>3</sub> Cl	(40.91) %	(3.08) %	(9.57) %	(16.41) %	(17.94) %
Found C <sub>10</sub> H <sub>8</sub> N <sub>2</sub> HCrO <sub>3</sub> Cl	40.90	3.18	9.49	16.24	17.50

### 3.2 2,2'-Bipyridinium chlorochromate 의 농도변화에 따른 벤질 알코올의 산화 반응 고찰

2,2'-Bipyridinium chlorochromate와 알코올의 산화반응에서 최적의 농도비를 구하기 위하여, 벤질 알코올 1.00×10<sup>-2</sup>mole에 대해 2,2'-bipyridinium chlorochromate의 농도를 변화시키면서 DMF 용매 하에서 각각 반응시켜

GC로 분석한 결과를 그림 4에 나타내었다. 2,2'-bipyridinium chlorochromate  $5.00 \times 10^{-3}$  mole일 때 벤질 알코올에 대응하는 벤즈알데히드의 최대 수율이 41% 이었고,  $1.00 \times 10^{-2}$  mole일 때 72%,  $1.50 \times 10^{-2}$  mole일 때 81%,  $2.00 \times 10^{-2}$  mole일 때 92%,  $2.50 \times 10^{-2}$  mole일 때 92%를 각각 나타냈다. 이들 모두가 2시간 이후부터는 수율 값이 일정함을 보였다. 실험 결과 2,2'-bipyridinium chlorochromate와 벤질 알코올의 농도비는 2:1일 때 가장 좋은 수율을 얻었고, 반응시간은 대부분 2시간이면 종결됨을 알 수 있었다.



[그림 4] 2,2'-비피리딘늄 클로로크로메이트를 이용한 벤질 알코올의 산화반응

[Fig. 4] Oxidation of benzyl alcohol by 2,2'-bipyridinium chlorochromate

### 3.3 여러 가지 용매 하에서 2,2'-bipyridinium chlorochromate를 이용한 벤질 알코올의 산화반응 고찰

시클로헥센, 1,4-디옥산, 사염화탄소, 클로로포름, 디클로로메탄, 아세톤, N,N'-디메틸포름아미드 등의 용매 하에서, 2,2'-bipyridinium chlorochromate를 이용하여 벤질 알코올을 각각 산화반응 시키고, 생성된, 알데히드의 수율을 GC로 분석하여 표 2에 나타내었다. 그리고 GC 크로마토그램에서 벤즈알데히드 표준물질과 벤질 알코올의 산화반응시 생성되는 벤즈알데히드를 비교하였다. 2,2'-bipyridinium chlorochromate는 1,4-디옥산, 시클로헥센 등에는 용해되지 않았고, 클로로포름, 아세톤, 디클로로메탄 등에는 일부가 용해되었고, N,N'-디메틸포름아미드 등에는 모두 용해되었다. 각 용매들의 쌍극자 모멘트( $\mu$ ), 전이에너지(E), 유전상수( $\epsilon$ )값들이 증가할수록 수율이 증가함을 보였고, 시클로헥센<클로로포름<아세톤<N,N'-디메틸포름아미드 용매 순으로 높은 산화반응성을 보였다.

[표 2] 여러 가지 용매 하에서 2,2'-비피리딘늄 클로로크로메이트를 이용한 벤질 알코올의 산화반응 결과 요약

[Table 2] Summarized results of oxidation of benzyl alcohol using 2,2'-bipyridinium chlorochromate in various solvents<sup>a)</sup>

Solvents	bp (°C) <sup>b)</sup>	$\epsilon^c$ at 25°C	Yield of benzaldehyde (%) <sup>d)</sup>	h
cyclohexene	82.5	2.22	31	1.5
1,4-dioxane	101.3	2.21	35	1.7
carbon tetrachloride	76.8	2.24	56	1.7
chloroform	61.2	4.81	84	2.0
dichloromethane	39.8	8.93	85	2.0
acetone	56.3	20.70	87	1.7
N,N'-dimethylformamide	152.3	37.00	92	2.0

- a) Benzyl alcohol ( $1.00 \times 10^{-2}$  mole) and 2,2'-bipyridinium chlorochromate ( $2.00 \times 10^{-2}$  mole) were combined in various solvents and then the mixtures were stirred at room temperature.
- b) Boiling point at 760 torr.
- c) Dielectric constant.
- d) Yields were calculated on the basis of GC data.

### 3.4 산 촉매 존재 하에서 온도변화에 따른 chlorochromate를 이용한 치환 벤질 알코올류의 산화반응 속도 측정 고찰

DMF 용매 하에서 2,2'-bipyridinium chlorochromate를 이용하여 치환된 벤질 알코올류( $p\text{-CH}_3$ , H,  $m\text{-Br}$ ,  $m\text{-NO}_2$ )를, 산(HCl) 촉매를 첨가하여 온도변화(303K, 308K, 313K)에 따라 각각 반응시켜 속도상수를 구하였고, 치환 벤질 알코올류의 농도를 산화제의 농도에 비하여 과량으로 취하여 유사일차 반응으로 진행시켰다. 이 속도상수(k) 값으로부터 열역학적 활성화 파라미터( $\Delta H^\ddagger$ ,  $\Delta S^\ddagger$ ,  $\Delta G^\ddagger$ )값과 치환기 효과에 따른 Hammett 반응상수( $\rho$ ) 값을 계산하였다.

표 3과 표 4에서 나타낸 바와 같이 산 촉매를 첨가한 경우, k 값은 온도가 증가함에 따라 증가하였고, 치환기 효과는 전자를 주는 치환기  $p\text{-CH}_3$ 에서 k 값이 증가하였다. 또한  $\Delta H^\ddagger$ 가 양의 값을,  $\Delta S^\ddagger$ 가 음의 값을 나타낸 것으로 보아, 산화반응 과정에서 전자를 주는 치환기가 있을 경우, 반응물보다 전이상태인 활성화 착물에서 더 안정화됨을 알 수 있었다. 그리고  $\Delta G^\ddagger$ 가 일정한 양의 값을 나타낸 것으로 보아, 모든 반응에 산화반응 과정의 메카니즘이 같은 경로임을 예측 할 수 있었다.

[표 3] 산[HCl] 촉매 존재 하에서 4,4'-비피리딘늄 디크로메이트를 이용한 치환 벤질 알코올류의 산화반응 속도 상수

[Table 3] Rate constants for the oxidation of substituted benzyl alcohols<sup>a)</sup> using 2,2'-bipyridinium chlorochromate<sup>b)</sup> in the presence of acid[HCl]<sup>c)</sup>

Substituents	10 <sup>5</sup> k(sec <sup>-1</sup> )		
	303K	308K	313K
p-CH <sub>3</sub>	5.90	7.21	8.42
H	4.49	4.89	6.31
m-Br	2.48	3.11	4.12
m-NO <sub>2</sub>	1.91	2.40	2.94

a)1.00×10<sup>-1</sup>mole. b)1.00×10<sup>-3</sup>mole. c)5.00×10<sup>-2</sup>mole.

[표 4] 표 4의 치환 벤질 알코올류의 산화 활성화 파라미터

[Table 4] Activation parameters for the oxidation of substituted benzyl alcohols in Table 3

Substituents	ΔH <sup>‡</sup> (KJmol <sup>-1</sup> )	ΔS <sup>‡</sup> (Jmol <sup>-1</sup> K <sup>-1</sup> )	ΔG <sup>‡</sup> (KJmol <sup>-1</sup> )
p-CH <sub>3</sub>	28.10	-243	101.050
H	32.12	-231	102.280
m-Br	36.13	-221	103.520
m-NO <sub>2</sub>	41.10	-207	104.670

또한 표 5와 표 6에서 산 촉매를 첨가하지 않은 경우, 산 촉매를 첨가했을 때와 비교해보면 p-CH<sub>3</sub>에서 k 값이 감소하였고, 전자를 받는 치환기 m-Br, m-NO<sub>2</sub>에서 k 값이 조금 증가한 것으로 보아 속도결정단계에서 산 촉매의 존재가 촉매 작용으로 산화반응 속도를 촉진시키는 역할을 한 것으로 생각된다.

[표 5] 4,4'-비피리딘늄 디크로메이트를 이용한 치환 벤질 알코올류의 산화반응 속도 상수

[Table 5] Rate constants for the oxidation of substituted benzyl alcohols<sup>a)</sup> using 2,2'-bipyridinium chlorochromate<sup>b)</sup>

Substituents	10 <sup>5</sup> k(sec <sup>-1</sup> )		
	303K	308K	313K
p-CH <sub>3</sub>	4.12	4.31	5.20
H	3.59	4.94	4.55
m-Br	2.91	3.40	4.10
m-NO <sub>2</sub>	2.71	2.50	3.41

a)1.00×10<sup>-1</sup>mole. b)1.00×10<sup>-3</sup>mole.

[표 6] 표 5의 치환 벤질 알코올류의 산화 활성화 파라미터

[Table 6] Activation parameters for the oxidation of substituted benzyl alcohols in Table 5

Substituents	ΔH <sup>‡</sup> (KJmol <sup>-1</sup> )	ΔS <sup>‡</sup> (Jmol <sup>-1</sup> K <sup>-1</sup> )	ΔG <sup>‡</sup> (KJmol <sup>-1</sup> )
p-CH <sub>3</sub>	18.40	-260	102.240
H	17.70	-254	103.085
m-Br	20.15	-243	103.512
m-NO <sub>2</sub>	22.20	-214	104.140

그러나 표 7과 표 8에서 산 촉매를 첨가하지 않고 산화제의 농도를 높인 경우, p-CH<sub>3</sub>와 m-Br, m-NO<sub>2</sub>에서 k 값이 산화제의 농도가 낮을 때와 크게 차이가 없는 것으로 보아 산화제의 농도가 산화반응 속도에 거의 영향을 미치지 않은 것으로 생각된다.

[표 7] 4,4'-비피리딘늄 디크로메이트를 이용한 치환 벤질 알코올류의 산화반응 속도 상수

[Table 7] Rate constants for the oxidation of substituted benzyl alcohols<sup>a)</sup> using 2,2'-bipyridinium chlorochromate<sup>b)</sup>

Substituents	10 <sup>5</sup> k(sec <sup>-1</sup> )		
	303K	308K	313K
p-CH <sub>3</sub>	4.21	4.48	5.15
H	3.62	4.15	4.90
m-Br	2.96	3.20	4.84
m-NO <sub>2</sub>	2.73	2.89	3.89

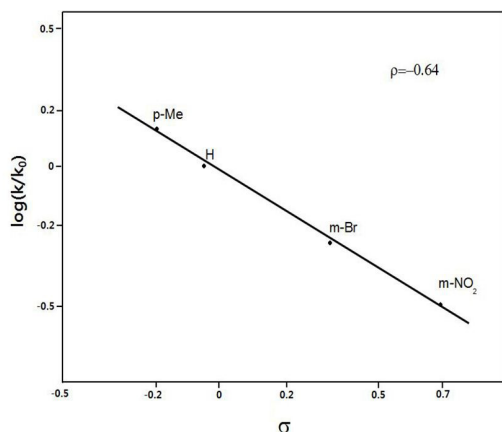
a)1.00×10<sup>-1</sup>mole. b)3.00×10<sup>-3</sup>mole.

[표 8] 표 6의 치환 벤질 알코올류의 산화 활성화 파라미터

[Table 8] Activation parameters for the oxidation of substituted benzyl alcohols in Table 7

Substituents	ΔH <sup>‡</sup> (KJmol <sup>-1</sup> )	ΔS <sup>‡</sup> (Jmol <sup>-1</sup> K <sup>-1</sup> )	ΔG <sup>‡</sup> (KJmol <sup>-1</sup> )
p-CH <sub>3</sub>	19.96	-239	102.240
H	22.89	-253	103.456
m-Br	24.09	-220	103.642
m-NO <sub>2</sub>	25.39	-224	104.279

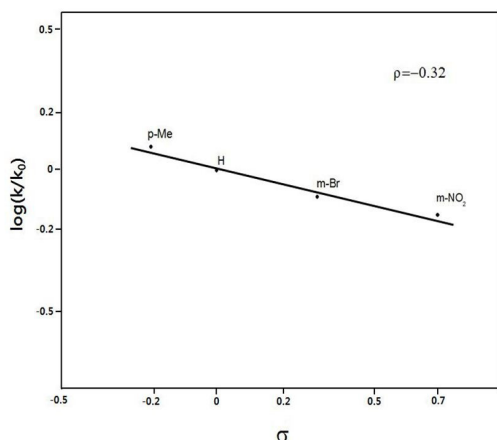
속도 자료를 이용한 Hammett 도시로부터 구한 반응상수(ρ) 값을 고찰해 보면, 그림 5에서 나타난 것과 같이 산 촉매를 첨가한 경우 ρ값은 -0.64로 나타났다.



[그림 5] 산[HCl] 존재 하에서, 2,2'- 비피리딘늄 클로로크로메이트에 의한 치환 벤질 알코올류의 산화반응에서 하메트 도시, 303K

[Fig. 5] The Hammett plot for the oxidation of substituted benzyl alcohols<sup>a)</sup> by 2,2'-bipyridinium chlorochromate<sup>b)</sup> in the presence of acid[HCl]<sup>c)</sup> at 303K  
a)  $1.00 \times 10^{-1}$  mole. b)  $1.00 \times 10^{-3}$  mole. c)  $5.00 \times 10^{-2}$  mole.

그러나 산 촉매를 첨가하지 않은 경우, 그림 6에서 나타낸 것과 같이  $\rho$ 값은 -0.32로 감소하였다.



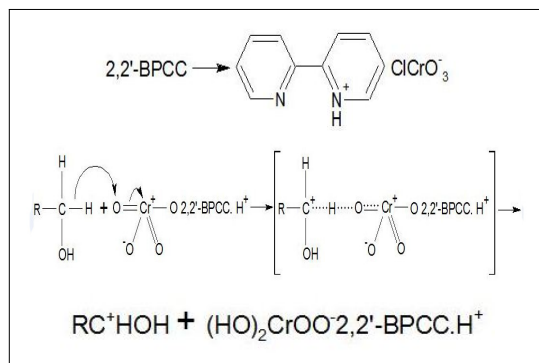
[그림 6] 2,2'- 비피리딘늄 클로로크로메이트에 의한 치환 벤질 알코올류의 산화반응에서 하메트 도시, 303K

[Fig. 6] The Hammett plot for the oxidation of substituted benzyl alcohols<sup>a)</sup> by 2,2'-bipyridinium chlorochromate<sup>b)</sup> at 303K  
a)  $1.00 \times 10^{-1}$  mole. b)  $1.00 \times 10^{-3}$  mole.

산 촉매를 첨가했을 경우 음의  $\rho$ 값이 증가한 원인은 알코올과 크롬산이 산화반응 과정에서 산 촉매 존재에서 양성자가 첨가로 인해, 크롬(VI)에 양이온을 안정화시켜 주는 역할을 하였기 때문이다. 이러한 결과로 치환된 벤

질 알코올류에 따라  $k$  값의 차이가 커짐으로 인하여  $\rho$ 값이 증가하였다. 그러나 산 촉매를 첨가하지 않고 산화제의 농도를 높인 경우  $\rho$ 값은 -0.32로 나타났다. 산 촉매를 첨가하지 않고 산화제 농도가 낮은 경우와 차이가 없는 것으로 보아,  $k$ 는 산화제의 농도에 의존하지 않음을 알 수 있었다.

결과적으로 음의 값의 Hammett 반응상수( $\rho$ ) 값으로 보아 본 실험에서의 반응은 전이상태에서 반응중심의 하전이 반응물에 크게 감소되거나 또는 양하전을 가질 것으로 예상된다. 그러므로 그림 7에서 나타낸 것과 같이 첫 번째 단계인  $RC^+HOH$ 가 형성되는 단계의 전이상태 구조의 반응중심인 탄소원자가 큰 양하전을 가진 구조의 메카니즘으로 진행될 것으로 예상된다. 또한 전이상태 구조는 극성이 큰 용매 계에서 높은 산화반응성을 나타낸 현상을 잘 설명해 준다고 할 수 있다. 그리고 반응중심에 큰 하전을 가지는 전이상태 구조는 극성이 큰 용매 계에서 용매화에 의한 전이상태 구조의 안정화 효과에 의해서 활성화에너지가 감소되므로 더 높은 산화반응성을 보이는 것으로 예상된다. 이상과 같은 고찰로부터 2,2'-bipyridinium chlorochromate를 이용한 알코올의 산화반응 메카니즘은 그림 7과 같이  $RC^+HOH$  중간체가 형성되는 단계가 반응속도 결정단계인 반응 메카니즘으로 예상된다.



[그림 7] 2,2'-비피리딘늄 클로로크로메이트에 의한 벤질 알코올류의 산화반응 메카니즘

[Fig. 7] Mechanism of the oxidation of substituted benzyl alcohols by 2,2'-bipyridinium chlorochromate

#### 4. 결론

2,2'-bipyridinium chlorochromate를 합성하여 산화반응의 최적 조건을 찾기 위하여 여러 가지 용매 하에서 2,2'-bipyridinium chlorochromate의 농도 변화에 따른 벤

질알코올의 산화반응성을 조사 하였다. 그리고 2,2'-bipyridinium chlorochromate를 이용하여 치환 벤질 알코올류의 산화반응 속도 측정 실험을 통하여 산화 반응 과정의 메카니즘을 고찰하였다. 이상과 같은 실험에서 다음과 같은 결론을 얻었다.

- 1) 2,2'-bipyridinium chlorochromate와 벤질 알코올의 반응에서 최적의 농도비는 2:1 일 때 가장 좋은 수율(92%)을 얻었고, 반응 시간은 2시간에서 종결됨을 알 수 있었다.
- 2) 여러 가지 용매 하에서 벤질 알코올의 산화반응을 측정할 결과 유전상수 값이 큰 용매 순서인 시클로헥센<클로로포름<아세톤<N,N'-디메틸포름아미드 용매에서 높은 산화반응성을 보였다.
- 3) 치환 벤질 알코올류의 산화반응 속도를 측정할 결과  $\Delta H^\ddagger$ 가 양의 값을,  $\Delta S^\ddagger$ 가 음의 값을 나타낸 것으로 보아, 산화반응 과정에서 반응물보다 전이상태인 활성화 착물에서 더 안정화됨을 알 수 있었다. 그리고  $\Delta G^\ddagger$ 가 일정한 양의 값을 나타낸 것으로 보아, 모든 반응에서 산화 반응 과정의 메카니즘이 같은 경로임을 알 수 있었다.  $\rho$ 값은 -0.64(303K)로 나타났다.
- 4) 2,2'-bipyridinium chlorochromate를 이용한 알코올의 산화반응 과정은 속도결정단계에서 수소화 전이기가 일어나는 메카니즘임을 알 수 있었다.

## References

- [1] K. K. Banerji, "Kinetic Study of the Oxidation of Substituted Benzyl Alcohols by Ethyl Chlorochromate", *Bull. Chem. Soc. Japan*, **61**, 5, pp.1767-1771, 1988.
- [2] J. F. Kuo, "Chromium(VI) Complexation with Triisooctylamine in Organic Solvents", *Bull. Chem. Soc. Japan*, **64**, 10, pp. 3059-3062, 1991.
- [3] M. K. Mahanti, D. Dey, "Kinetics of Oxidation of Substituted Benzyl Alcohols by Quinolinium Dichromate", *J. Org. Chem.*, **55**, 23, pp.5848-5850, 1990.
- [4] M. K. Mahanti, "Kinetics of Oxidation of Nitro-toluenes by Acidic Hexacyanoferrate(III)", *Bull. Korean Chem. Soc.*, **4**, 3, pp. 120-123, 1983.
- [5] G. P. Panigrahi, "Michaelis-Menten Behaviour in the Oxidation of Benzaldehydes by Pyridinium Chlorochromate", *Bull. Korean Chem. Soc.*, **13**, 5, pp. 547-550, 1992.
- [6] M. K. Mahanti, B. Kuotsu, E. Tiewsoh, "Quinolinium Dichromate Oxidation of Diols: A Kinetics Study", *J. Org. Chem.*, **61**, 25, pp. 8875-8877, 1996.
- [7] H. B. Davis, R. M. Sheets, W.W. Pandler, "High Valent Chromium Heterocyclic Complexes-II: New Selective and Mild Oxidants", *Heterocycles*, **22**, 9, pp. 2029-2035, 1984.
- [8] M. R. Pressprich, R. D. Willett, H. B. Davis, "Preparation and Crystal Structure of Dipyrzinium Trichromate and Bond Length Correlation for Chromate Anions of the Form  $Cr_nO_{3n+1}^{2-}$ ", *Inorg. Chem.*, **27**, 2, pp. 260-264, 1988.
- [9] M. H. Cho, J. H. Kim, H. B. Park, "Kinetic Study of Macrocyclic Ligand-Metal Ion Complexes", *J. Korean Chem. Soc.*, **33**, 4, pp. 366-370, 1989.
- [10] G. D. Yadav, "Mechanistic and Kinetic Investigation of Liquid-Liquid Phase Transfer Catalyzed Oxidation of Benzyl Chloride to Benzaldehyde", *J. Phys. Chem.*, **101**, 1, pp. 36-48, 1997.
- [11] M. K. Mahanti, "Kinetics and Mechanism of the Oxidative Cleavage of Unsaturated Acids by Quinolinium Dichromate", *Bull. Chem. Soc. Japan*, **67**, 8, pp. 2320-2322, 1994.
- [12] M. K. Mahanti, "Quinolinium Dichromate Oxidations Kinetics and Mechanism of the Oxidative Cleavage of Styrenes", *J. Org. Chem.*, **58**, 18, pp. 4925-4928, 1993.
- [13] I. S. Koo, J. S. Kim, S. K. An, "Kinetic Studies on Solvolyses of Substituted Cinnamoyl Chlorides in Alcohol-Water Mixture", *J. Korean Chem. Soc.*, **43**, 5, pp. 527-534, 1999.
- [14] R. Tayeb, "Simple Heteropoly Acids as Water Tolerant Catalysts in the Oxidation of Alcohols with 34% Hydrogen Peroxide, A Mechanistic Approach", *J. Korean Chem. Soc.*, **52**, 1, pp. 23-29, 2008.
- [15] R. Y. Sung, H. Choi, I. S. Koo, "Kinetic Studies on the Nucleophilic Substitution Reaction of 4-X-Substituted-2,6-dinitrochlorobenzene with Pyridines in MeOH-MeCN Mixtures", *Bull. Korean Chem. Soc.*, **30**, 7, pp. 1579-1582, 1988.
- [16] Y. S. Kim, H. Choi, I. S. Koo, "Kinetics and Mechanism of Nucleophilic Substitution Reaction of 4-Substituted-2,6-dinitrochlorobenzene with Benzylamines in MeOH-MeCN Mixtures", *Bull. Korean Chem. Soc.*, **31**, 11, pp. 3279-3282, 2010.
- [17] M. H. Cho, J. H. Kim, and H. B. Park, "Kinetic Study of Macrocyclic Ligand-Metal Ion Complexes", *J. Korean Chem. Soc.*, **33**, pp.366-371, 1989.
- [18] G. D. Yadav, "Mechanistic and Kinetic Investigation of Liquid-Liquid Phase Transfer Catalyzed Oxidation of Benzyl Chloride to Benzaldehyde", *J. Phys. Chem.*,



101, pp. 36-40, 1997.

- [19] M. K. Mahanti, "Kinetics and Mechanism of the Oxidative Cleavage of Unsaturated Acids by Qu-inolinium Dichromate", Bull. Chem. Soc. Japan., **67**, pp. 2320-2324, 1994.
- [20] D. Richard and Gilliom, Physical Organic Chemistry", pp. 169-180, 1992.
- [21] M. K. Mahanti, "Quinolinium Dichromate Oxidations Kinetics and Mechanism of the Oxidative Cleavage of Styrenes", J. Org. Chem., **58**, pp.4925-4928, 1993.
- 

### 김 영 식(Young-Sik Kim)

[정회원]



- 1979년 2월 : 충북대학교 대학원 화학공학과(공학석사)
- 1989년 2월 : 충북대학교 대학원 화학공학과(공학박사)
- 1996년 8월 ~ 1997년 8월 : 영국 Strathclyde Univ. 방문교수
- 2010년 2월 ~ 2011년 2월 : 미국 Eastern Michigan Univ. 방문교수

- 2011년 11월 ~ 현재 : 한국가스안전공사 비상임이사
- 1982년 02월 ~ 현재 : 강원대학교 화학공학과 교수

<관심분야>

레올로지, 분리정제, 정밀화학

---

### 박 영 조(Young-Cho Park)

[정회원]



- 1993년 8월 : 경남대학교 대학원 화학과(이학박사)
- 1995년 3월 ~ 2007년 2월 : 부산대학교 밀양캠퍼스 강사
- 2008년 9월 ~ 2009년 8월 : 강원대학교 삼척캠퍼스 겸임교수
- 2009년 8월 ~ 현재 : 강원대학교 삼척캠퍼스 강사

<관심분야>

반응속도론, 정밀화학